

การประเมินขนาดและตำแหน่งการเกิดฟ้าผ่าจากการวัดค่าแรงดันเหนี่ยวนำ

นายจตุพงษ์ พุทธรักษा

วิทยานิพนธ์นี้เป็นส่วนหนึ่งของการศึกษาตามหลักสูตรปริญญาวิศวกรรมศาสตรมหาบัณฑิต  
สาขาวิชาจิราภรณ์ไฟฟ้า ภาควิชาจิราภรณ์ไฟฟ้า  
คณะจิราภรณ์ศาสตร์ จุฬาลงกรณ์มหาวิทยาลัย  
ปีการศึกษา 2550  
ลิขสิทธิ์ของจุฬาลงกรณ์มหาวิทยาลัย

AN EVALUATION OF LIGHTNING MAGNITUDE AND LOCATION BY INDUCED VOLTAGE  
MEASUREMENT

Mr.Chatupong Phuttharaksa

A Thesis Submitted in Partial Fulfillment of the Requirements  
for the Degree of Master of Engineering Program in Electrical Engineering  
Department of Electrical Engineering  
Faculty of Engineering  
Chulalongkorn University  
Academic year 2007  
Copyright of Chulalongkorn University

501779

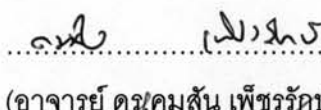
หัวข้อวิทยานิพนธ์ การประเมินขนาดและตำแหน่งการเกิดฟ้าผ่าจากการวัดค่าแรงดัน  
เนื้อยางสำนักฯ  
โดย นายจตุพงษ์ พุทธรักษ์  
สาขาวิชา วิศวกรรมไฟฟ้า  
อาจารย์ที่ปรึกษา อาจารย์ ดร.วีระพันธ์ วงศ์สุวิจิตรประภา

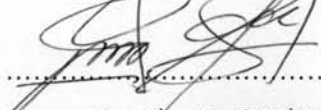
---

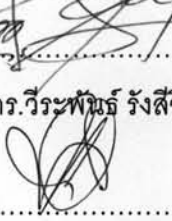
คณะกรรมการศาสตราจารย์ จุฬาลงกรณ์มหาวิทยาลัย อนุมัติให้นับวิทยานิพนธ์ฉบับนี้เป็น<sup>ก</sup>  
ส่วนหนึ่งของการศึกษาตามหลักสูตรปริญญามหาบัณฑิต

 คณบดีคณะวิศวกรรมศาสตร์  
(ศาสตราจารย์ ดร. ดิเรก ลาวณย์ศิริ)

คณะกรรมการสอบวิทยานิพนธ์

 ประธานกรรมการ  
(อาจารย์ ดร.นุคม สัน พีชรรัคช์)

 อาจารย์ที่ปรึกษา  
(อาจารย์ ดร.วีระพันธ์ วงศ์สุวิจิตรประภา)

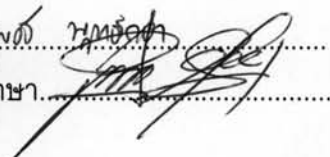
 กรรมการ  
(ผู้ช่วยศาสตราจารย์ ดร.วันเฉลิม ปุรา)

จดุพงษ์ พุทธรักษा : การประเมินขนาดและตำแหน่งการเกิดฟ้าผ่าจาก การวัดค่าแรงดัน  
เหนี่ยวนำ (AN EVALUATION OF LIGHTNING MAGNITUDE AND LOCATION BY  
INDUCED VOLTAGE MEASUREMENT). อ.ที่ปรึกษา: อ.ดร.วีระพันธ์ รังสิวิตรประภา,  
85 หน้า.

วิทยานิพนธ์ฉบับนี้เป็นการศึกษาเพื่อพัฒนาและออกแบบระบบตรวจจับเพื่อประเมินหา  
ขนาดและตำแหน่งของฟ้าผ่า โดยการวัดค่าแรงดันเหนี่ยวนำสนามแม่เหล็กไฟฟ้า ระบบตรวจจับ  
ฟ้าผ่านี้แบ่งออกได้เป็น 2 ส่วนคือ ส่วนรับสัญญาณ และส่วนการประมวลผล โดยส่วนรับ  
สัญญาณที่ใช้เป็นสายอากาศแบบบ่วงโดยมีลักษณะพื้นที่น้ำตัดเป็นรูปสี่เหลี่ยมจตุรัส สำหรับวัด  
ความเข้มของสนามแม่เหล็กที่แพร่กระจายออกจากลำฟ้าผ่า ค่าที่วัดได้จะอยู่ในรูปของ  
แรงดันไฟฟ้าเหนี่ยวนำ จากนั้นนำค่าอยอดของรูปคลื่นแรงดันเหนี่ยวน้ำที่วัดได้จากเครื่องดิจิตอล  
ขอซิลิสโคลปมาวิเคราะห์ขนาดและตำแหน่งของฟ้าผ่า โดยซอฟต์แวร์ที่ถูกพัฒนาขึ้นด้วย  
โปรแกรม Visual Basic

ในส่วนการประมวลผล โปรแกรมจะแสดงผลค่าของกระแสฟ้าผ่าเป็นค่า  $di/dt$  และ  
ตำแหน่งของฟ้าผ่าเป็นพิกัด  $(x,y)$  ผลการทดสอบระบบตรวจจับเพื่อประเมินขนาดและตำแหน่ง  
ของฟ้าผ่านี้ ในห้องปฏิบัติการไฟฟ้าแรงสูงที่คณะวิศวกรรมศาสตร์ จุฬาลงกรณ์มหาวิทยาลัย โดย  
ใช้เครื่องสร้างกระแสสอดคล้อง 75 kA 30 kJ ที่มีอยู่ในห้องปฏิบัติการ ทำการทดสอบที่ขนาด  
กระแส 5 kA รูปคลื่นมาตรฐาน 8/20 จากผลการทดสอบแสดงให้เห็นว่าระบบตรวจจับ  
เพื่อประเมินขนาดและตำแหน่งของฟ้าผ่า สามารถระบุขนาดของกระแสฟ้าผ่าและตำแหน่ง  
โดยมีค่าความผิดพลาดน้อยกว่า 25 % สำหรับการระบุขนาด และผิดพลาดน้อยกว่า 30 % สำหรับ  
การระบุตำแหน่ง

ภาควิชา วิศวกรรมไฟฟ้า ลายมือชื่อนิสิต..... อรุณรัตน์ มนต์อรุณ  
สาขาวิชา วิศวกรรมไฟฟ้า ลายมือชื่ออาจารย์ที่ปรึกษา.....  
ปีการศึกษา 2550



4670668421 : ELECTRICAL ENGINEERING

KEY WORDS : LIGHTNING CURRENT / LIGHTNING LOCATION/ INDUCED VOLTAGE  
MEASUREMENT

CHATUPONG PHUTTHARAKSA : AN EVALUATION OF LIGHTNING  
MAGNITUDE AND LOCATION BY INDUCED VOLTAGE MEASUREMENT  
THESIS ADVISOR: WEERAPUN RUNGSEEVIJITPRAPA, Dr.-Ing. 85 pp.

This thesis is a study for developing and designing an inspected system for the evaluation of lightning magnitude and location by induced voltage measurement. The inspected system was consists of two parts, which are Receiving signal part and Evaluating part. The receiving signal part was designed as a loop antenna for measuring the magnetic field intensity, which spread from the lightning stroke, and the measurement based on the induced voltage. Then the stored data will be analyzed to find the magnitude and location of the lightning using the developed program from Visual Basic.

The Evaluation results show the magnitude of impulse current in form of  $di/dt$  and its location in coordination of  $(x, y)$ . The test on the evaluation of lightning magnitude and localization by induced voltage measurement was taken in The High Voltage Research Laboratory at Faculty of Engineering, Chulalongkorn University using impulse generator of 75 kA 30 kJ with the impulse current of 5kA and the standard waveform of 8/20. The result shows that the evaluation of lightning magnitude and location can be provide the magnitude of impulse current with error less than 25 % and the location error less than 30 %.

Department.....Electrical Engineering.....Student's Signature.....*Ch. Phuttharaksa*.....

Field of study.....Electrical Engineering.....Advisor's Signature.....*W. Rungseevijitprapa*

Academic year ..... 2007 .....

## กิตติกรรมประกาศ

วิทยานิพนธ์ฉบับนี้สำเร็จล่วงไปได้ด้วยดี เนื่องจากได้รับความกรุณาและความช่วยเหลืออย่างดียิ่งจากอาจารย์ ดร.วีระพันธ์ วงศ์สวัสดิ์ประภา อาจารย์ที่ปรึกษาวิทยานิพนธ์ที่ได้ให้แนวทางการศึกษาวิจัย คำแนะนำ และข้อคิดเห็นต่างๆของการทำวิทยานิพนธ์ด้วยดีตลอดมา รวมทั้งได้กรุณาราจสอบและแก้ไขข้อบกพร่องจนกระหึ่มทั้งวิทยานิพนธ์เสร็จสมบูรณ์

นอกจากนั้น ผู้วิจัยต้องขอขอบพระคุณคณะกรรมการสอบวิทยานิพนธ์ ซึ่งประกอบไปด้วย อาจารย์ ดร.คมสัน เพ็ชรรักษ์ และอาจารย์ ดร.วนิชลิน โปรด ที่ได้กรุณาราจสอบแก้ไขและให้คำแนะนำในการทำวิทยานิพนธ์จนสำเร็จเรียบร้อย คุณไชยวัฒน์ อภิญนະวิทย์ ที่ให้คำปรึกษาทางด้านวงจรอิเล็กทรอนิกส์พร้อมทั้งเอื้อเพื่ออุปกรณ์ที่ใช้ในวิทยานิพนธ์ คุณพงศ์พันธุ์ ปริยวงศ์ ที่ให้คำแนะนำ และความช่วยเหลือในการอุปกรณ์ต่างในการทดสอบ ตลอดจนที่เพื่อนๆ และบุคลากรท่านอื่นในห้องปฏิบัติการไฟฟ้าแรงสูงทุกท่านที่เป็นกำลังใจและช่วยเหลือข้าพเจ้าในด้านต่างๆด้วยดีเสมอมา ผู้วิจัยขอขอบคุณไว้ ณ โอกาสนี้

เนื่อสิ่งขึ้นได้ผู้วิจัยขอกราบขอบพระคุณบิดา นารดา และญาติพี่น้องของข้าพเจ้าทุกคน ที่เป็นให้กำลังใจที่ดีที่สุดและการสนับสนุนในทุก ๆ ด้านตลอดมา

## สารบัญ

|                           | หน้า |
|---------------------------|------|
| บทคัดย่อวิทยานิพนธ์ ..... | ๑    |
| บทคัดย่อภาษาอังกฤษ .....  | ๑    |
| กติกากรรมประการ .....     | ๒    |
| สารบัญ .....              | ๓    |
| สารบัญตาราง .....         | ๘    |
| สารบัญภาพ .....           | ๙    |

### บทที่

|  |    |
|--|----|
| 1. บทนำ .....  | 1  |
| 1.1 ที่มาและความสำคัญของปัจุหะ .....                           | 1  |
| 1.2 วัตถุประสงค์ของวิทยานิพนธ์ .....                           | 2  |
| 1.3 ขอบเขตของวิทยานิพนธ์ .....                                 | 2  |
| 1.4 ประโยชน์ที่คาดว่าจะได้รับ .....                            | 3  |
| 2. หลักการและทฤษฎีที่เกี่ยวกับฟ้าผ่า .....                     | 4  |
| 2.1 การศึกษาเรื่องฟ้าผ่า .....                                 | 4  |
| 2.2 สาเหตุของฟ้าผ่า .....                                      | 5  |
| 2.2.1 ลักษณะของฟ้าผ่า .....                                    | 6  |
| 2.2.2 กลไกการเคลื่อนตัวของฟ้าผ่า .....                         | 8  |
| 2.3 ผลกระทบทางด้านสังคม .....                                  | 10 |
| 2.4 ผลกระทบทางเศรษฐกิจ .....                                   | 10 |
| 2.4.1 ผลกระทบทางความร้อน .....                                 | 10 |
| 2.4.2 ผลกระทบทางกล .....                                       | 11 |
| 2.4.3 ผลกระทบทางไฟฟ้า .....                                    | 11 |
| 2.5 ระบบตรวจจับและออกคำแนะนำฟ้าผ่าที่มีใช้อยู่ในปัจจุบัน ..... | 12 |
| 2.6 ทฤษฎีที่เกี่ยวข้อง .....                                   | 14 |
| 2.6.1 แรงดันไฟฟ้าเหนี่ยวนำ .....                               | 14 |
| 2.6.2 กฎของบิโอด์-ซา瓦ร์ต (Biot-Savart's Law) .....             | 16 |

| บทที่  | หน้า |
|--|------|
| 3. การออกแบบและประเมินสร้างระบบตรวจสอบเพื่อประเมินหาค่าขนาด และตำแหน่งของพื้นผ้าโดยการวัดค่าแรงดันเหนี่ยวนำสำน้ำแม่เหล็กไฟฟ้า..... | 19   |
| 3.1 หลักการทำงานของระบบ.....   | 20   |
| 3.2 ส่วนรับสัญญาณ.....   | 20   |
| 3.3 ส่วนประมวลผล.....  | 23   |
| 3.3.1 โปรแกรมคำนวณค่าแรงดันเหนี่ยวนำ.....  | 24   |
| 3.3.2 โปรแกรมคำนวณขนาด และตำแหน่งพื้นผ้า.....  | 25   |
| 3.4 การเตรียมอุปกรณ์สำหรับทดสอบ.....   | 26   |
| 4. การทดสอบระบบตรวจสอบเพื่อประเมินขนาดและตำแหน่งพื้นผ้าโดยการวัดค่าแรงดันเหนี่ยวนำสำน้ำแม่เหล็กไฟฟ้า.....                          | 31   |
| 4.1 การทดสอบและประเมินผลส่วนรับสัญญาณ .....  | 32   |
| 4.1.1 การทดสอบเพื่อหาความสัมพันธ์ระหว่างขนาดของค่าแรงดันเหนี่ยวน้ำกับมุมตั้งจาก (ทิศทางของเข็มเชอร์ที่หันเข้าหาพื้นผ้า).....       | 33   |
| 4.1.1.1 การทดสอบกับกระแส้มพัลส์บวก.....  | 34   |
| 4.1.1.2 การทดสอบกับกระแส้มพัลส์ลบ.....   | 49   |
| 4.1.2 การทดสอบเพื่อหาความสัมพันธ์ระหว่างขนาดของค่าแรงดันเหนี่ยวน้ำกับระยะทาง (ตำแหน่งของเข็มเชอร์กับตำแหน่งของพื้นผ้า) .....       | 62   |
| 4.1.2.1 การทดสอบกับกระแส้มพัลส์บวก.....  | 62   |
| 4.1.2.2 การทดสอบกับกระแส้มพัลส์ลบ.....   | 65   |
| 4.2 การทดสอบและประเมินผลส่วนการประมวลผล.....   | 68   |
| 4.2.1 การทดสอบโปรแกรมคำนวณค่าแรงดันเหนี่ยวนำ.....  | 68   |
| 4.2.2 โปรแกรมคำนวณขนาด และตำแหน่งพื้นผ้า.....  | 69   |
| 5. สรุปผลและข้อเสนอแนะ .....   | 70   |
| รายการอ้างอิง.....   | 72   |
| ภาคผนวก.....   | 74   |
| ภาคผนวก ก .....  | 75   |
| ภาคผนวก ข.....   | 83   |
| ประวัติผู้เขียนวิทยานิพนธ์.....  | 85   |

## สารบัญตาราง

| ตารางที่   | หน้า |
|--|------|
| 4.1 ตารางแสดงผลการวัดค่าแรงดันเหนี่ยวนำที่เข็นเชอร์ S1 และ S2 จากการยิงกระแส อิมพัลส์ บวก ขนาด 5 kA เพื่อวัดค่าเมื่อปรับเข็นเชอร์ในมุมต่างๆ ตามการทดสอบที่ 4.1.1.1/1 ..... | 35   |
| 4.2 ตารางแสดงผลการวัดค่าแรงดันเหนี่ยวนำที่เข็นเชอร์ S1 และ S2 จากการยิงกระแส อิมพัลส์ บวก ขนาด 5 kA เพื่อวัดค่าเมื่อปรับเข็นเชอร์ในมุมต่างๆ ตามการทดสอบที่ 4.1.1.1/2 ..... | 44   |
| 4.3 ตารางแสดงผลการวัดค่าแรงดันเหนี่ยวนำที่เข็นเชอร์ S1 และ S2 จากการยิงกระแส อิมพัลส์ ลบ ขนาด -5 kA เพื่อวัดค่าเมื่อปรับเข็นเชอร์ในมุมต่างๆ ตามการทดสอบที่ 4.1.1.2/1 ..... | 50   |
| 4.4 ตารางแสดงผลการวัดค่าแรงดันเหนี่ยวนำที่เข็นเชอร์ S1 และ S2 จากการยิงกระแส อิมพัลส์ ลบ ขนาด -5 kA เพื่อวัดค่าเมื่อปรับเข็นเชอร์ในมุมต่างๆ ตามการทดสอบที่ 4.1.1.2/2 ..... | 56   |
| 4.5 ตารางแสดงผลการวัดค่าแรงดันเหนี่ยวนำที่เข็นเชอร์ S1 และ S2 จากการยิงกระแส อิมพัลส์ บวก ขนาด 5 kA เพื่อวัดค่าเมื่อวางเข็นเชอร์ในตำแหน่งต่างๆ ตามการทดสอบที่ 4.1.2.1 .... | 63   |
| 4.6 ตารางแสดงผลการวัดค่าแรงดันเหนี่ยวนำที่เข็นเชอร์ S1 และ S2 จากการยิงกระแส อิมพัลส์ ลบ ขนาด -5 kA เพื่อวัดค่าเมื่อวางเข็นเชอร์ในตำแหน่งต่างๆ ตามการทดสอบที่ 4.1.2.2 .... | 65   |
| 4.7 ตารางการเปรียบเทียบการหาขนาดและตำแหน่งของกระแสอิมพัลส์ระหว่างค่าที่ได้จากทดสอบ และค่าจากการคำนวณด้วยโปรแกรม.....   | 69   |

## สารบัญภาพ

| ภาพประกอบที่  | หน้า |
|---|------|
| 2.1 ลักษณะของก้อนเมฆฝนฟ้าคานอง หรือเมฆคิวมูลินิมบัส (Cumulonimbus) ที่ก่อให้เกิดฟ้าผ่า.....   | 5    |
| 2.2 ความแตกต่างของลักษณะของฟ้าผ่าทั้ง 4 ประเภท.....   | 6    |
| 2.3 ลักษณะการเกิดฟ้าผ่าระหว่างก้อนเมฆกับพื้นดิน 4 ประเภทโดย(Uman, 1987) .....   | 7    |
| 2.4 การแยกตัวของชั้นประจุบวกและประจุลบบนก้อนเมฆเนื่องจากแรงลม .....   | 8    |
| 2.5 ขั้นตอนการเคลื่อนตัวของฟ้าผ่า.....  | 9    |
| 2.6 ตัวอย่างภาพถ่ายฟ้าผ่าช้า (Multi strokes).....   | 10   |
| 2.7 แสดงการหาระยะทางจากแต่ละสถานีเพื่อกำหนดตำแหน่งฟ้าผ่า .....  | 12   |
| 2.8 แสดงลักษณะการหักเหและการสะท้อนของเสียง.....   | 13   |
| 2.9 รูปภาพแสดงเส้นแรงแม่เหล็กตัดผ่านชุดลวด .....  | 14   |
| 2.10 รูปแสดงมุมระหว่างความหนาแน่นของฟลักซ์แม่เหล็กกับพื้นที่ตั้งฉาก.....  | 16   |
| 2.11 ความเข้มของสนามแม่เหล็กที่เกิดขึ้นที่จุด P เมื่อจากเส้นทางการไหลของชั้นกระแส $IdI$ .....   | 17   |
| 3.1 แบบจำลองการทำงานของระบบตรวจจับฟ้าผ่าโดยการวัดค่าแรงดันเหนี่ยวนำสนามแม่เหล็กไฟฟ้า .....  | 19   |
| 3.2 สถานะสัญญาณของระบบ .....  | 21   |
| 3.3 แสดงมุมตั้งฉากระหว่างสนามแม่เหล็กกับพื้นที่หน้าตัดของชุดลวด .....   | 21   |
| 3.4 ภาพแสดงมิติของแกนพลาสติก.....   | 22   |
| 3.5 ลักษณะของแกนเมื่อพันชุดลวด .....  | 22   |
| 3.6 (a) การต่อขัวปลายแยกสายกับชุดลวด (b) การวางชุดลวดติดตั้งภายในกล่อง (c)-(d) การติดตั้งกล่องเข็นเชอร์บันฐานกระบอก พีวีซี สำหรับปรับมุมในการทดสอบ..... | 23   |
| 3.7 แสดงขั้นตอนการทำงานของโปรแกรมหาค่าแรงดันเหนี่ยวนำ .....   | 24   |
| 3.8 แสดงขั้นตอนการทำงานของโปรแกรมหาขนาด และตำแหน่งฟ้าผ่า .....  | 25   |
| 3.9 แสดงการจัดวางองค์ประกอบและอุปกรณ์สำหรับทดสอบ .....  | 27   |
| 3.10 กล่องรับสัญญาณ .....   | 28   |
| 3.11 สายนำสัญญาณพร้อมหัวต่อ BNC 50 ohm.....   | 28   |

| ภาพประกอบที่  | หน้า |
|---|------|
| 3.12 สายเคเบิลนำสัญญาณแบบ 4 สายตีเกลียวน์ Shield พร้อมหัวต่อแบบ 4 ช่อง.....                     | 28   |
| 3.13 เครื่องวัดสัญญาณดิจิตอลแบบ 4 ช่อง ยี่ห้อ Tektronix รุ่น TD 3054 B .....                    | 29   |
| 3.14 เครื่องวัดสัญญาณดิจิตอลแบบ 4 ช่อง ยี่ห้อ LeCroy รุ่น 9384 M .....                          | 29   |
| 3.15 เครื่องวัดสัญญาณดิจิตอลแบบ 4 ช่อง ยี่ห้อ LeCroy รุ่น Wave Runner 6050.....                 | 29   |
| 3.16  Rogoski coil.....   | 30   |
| 3.17 หัวต่อวัดสัญญาณ Rogoski coil .....   | 30   |
| 3.18 เครื่องกำเนิดกระแสอิมพัลส์ 75 kA 30 kJ.....  | 30   |
| 4.1 (a) ลักษณะการทำงานของระบบตรวจจับสัญญาณ (b) ลักษณะการแพร์กราย                                |      |
| สนามแม่เหล็กบนพื้นที่ทดสอบ.....   | 32   |
| 4.2 รูปแสดงการวางแผนของเซ็นเซอร์และลำฟ้าผ่าในการทดสอบ .....                                     | 33   |
| 4.3 รูปแสดงตำแหน่งของเซ็นเซอร์และลำฟ้าผ่านพื้นที่ทดสอบ .....                                    | 34   |
| 4.4 รูปแสดงตัวอย่างการปรับมุมของเซ็นเซอร์กับระนาบ X, Y.....                                     | 34   |
| 4.5 (a) แสดงตำแหน่งเซ็นเซอร์และแท่งอะลูมิเนียม บนพื้นที่ทดสอบ (b) แสดงการต่อ                    |      |
| สายสัญญาณและอุปกรณ์อื่นๆ .....  | 35   |
| 4.6 (a) รูปคลื่นกระแสอิมพัลส์ (Impulse current 5 kA 8/20 μs) (b)-(v) รูปคลื่นแรงดันเหนี่ยวนำที่ |      |
| วัดได้จากเซ็นเซอร์ S1 และ S2 แบ่งเป็น VS1N, VS1E, VS2N และ VS2E.....                            | 36   |
| 4.7 (a)-(d) กราฟแสดงความสัมพันธ์ระหว่างขนาดของมุมและขนาดของแรงดันเหนี่ยวนำ จาก                  |      |
| การทดสอบ และจากการคำนวณที่เซ็นเซอร์ S1 และเซ็นเซอร์.....  | 42   |
| 4.8 แสดงผลของสนามแม่เหล็กจากส่วนประกอบของวงจรจำลองฟ้าผ่าต่อเซ็นเซอร์ S1 .....                   | 43   |
| 4.9 รูปแสดงตำแหน่งของเซ็นเซอร์และลำฟ้าผ่านพื้นที่ทดสอบ .....                                    | 44   |
| 4.10 (a)-(f) รูปคลื่นแรงดันเหนี่ยวนำที่วัดได้จากเซ็นเซอร์ S1 และ S2 แบ่งเป็น VS1N, VS1E,        |      |
| VS2N และ VS2E.....  | 45   |
| 4.11 กราฟแสดงความสัมพันธ์ระหว่างขนาดของมุมและขนาดของแรงดันเหนี่ยวนำ จากการ                      |      |
| ทดสอบ และจากการคำนวณที่เซ็นเซอร์ S1 และเซ็นเซอร์ S2 .....                                       | 48   |
| 4.12 รูปแสดงตำแหน่งของเซ็นเซอร์และลำฟ้าผ่านพื้นที่ทดสอบ .....                                   | 49   |
| 4.13 (a) รูปคลื่นกระแสอิมพัลส์ (b)-(o) รูปคลื่นแรงดันเหนี่ยวนำที่วัดได้จากเซ็นเซอร์ S1 และ      |      |
| S2 แบ่งเป็น VS1N, VS1E, VS2N และ VS2E.....  | 50   |
| 4.14 กราฟแสดงความสัมพันธ์ระหว่างขนาดของมุมและขนาดของแรงดันเหนี่ยวนำ จากการ                      |      |
| ทดสอบ และจากการคำนวณที่เซ็นเซอร์ S1 และเซ็นเซอร์ S2.....  | 55   |

| ภาพประกอบที่  | หน้า |
|---|------|
| 4.15 รูปแสดงตำแหน่งของเข็นเซอร์และลำฟ้าผ่านพื้นที่ทดสอบ .....   | 56   |
| 4.16 (a)-(f) รูปคลื่นแรงดันเนี้ยวน้ำที่วัดได้จากเข็นเซอร์ S1 และ S2 แบ่งเป็น VS1N, VS1E,<br>VS2N และ VS2E.....  | 57   |
| 4.17 กราฟแสดงความสัมพันธ์ระหว่างขนาดของมนุษย์และขนาดของแรงดันเนี้ยวน้ำ จากการ<br>ทดสอบ และจากการคำนวณที่เข็นเซอร์ S1 และเข็นเซอร์ S2 .....              | 61   |
| 4.18 รูปแสดงตำแหน่งเริ่มต้น และตำแหน่งทดสอบของเข็นเซอร์และลำฟ้าผ่านพื้นที่ทดสอบ ..  | 62   |
| 4.19 (a)-(h) ค่าแรงดันเนี้ยวน้ำของเข็นเซอร์ S1 (VS1N, VS1E) และ ค่าแรงดันเนี้ยวน้ำของ<br>เข็นเซอร์ S1 (VS2N, VS2E) เมื่อ S1,S2 อยู่ที่ตำแหน่งต่างๆ..... | 63   |
| 4.20 (a)-(h) ค่าแรงดันเนี้ยวน้ำของเข็นเซอร์ S1 (VS1N, VS1E) และ ค่าแรงดันเนี้ยวน้ำของ<br>เข็นเซอร์ S1 (VS2N, VS2E) เมื่อ S1,S2 อยู่ที่ตำแหน่งต่างๆ..... | 66   |
| ก.1 การแบ่งพื้นที่ทดสอบเป็น 4 ส่วน .....  | 75   |
| ก.2 แสดงการแพร่กระจายของสนามแม่เหล็ก.....   | 78   |
| ก.3 Induced voltages VS Angle.....  | 79   |
| ก.4 แสดงตำแหน่งของเข็นเซอร์และลำฟ้าผ่า.....   | 79   |
| ก.5 ภาพแสดงทิศทางของสนามแม่เหล็กต่อพื้นที่หน้าตัดของเข็นเซอร์ S1และ S2.....   | 81   |
| ข.1 แสดงการป้อนข้อมูลในการใช้โปรแกรมคำนวณค่าแรงดันเนี้ยวน้ำ.....  | 83   |
| ข.2 แสดงการป้อนข้อมูลในการใช้โปรแกรมหาขนาด และตำแหน่งฟ้าผ่า.....  | 84   |